



Universidade do Minho
Escola de Ciências

LICENCIATURA EM CIÊNCIAS DA COMPUTAÇÃO

COMPUTAÇÃO GRÁFICA

TRABALHO PRÁTICO - FASE 4

Ana Beatriz Silva (a91678) Paulo Jorge Freitas (100053)

26 de maio de 2024

Conteúdo

1	Introdução	3
2	Resolução	4
2.1	Cálculo de Normais	4
2.1.1	Plano	4
2.1.2	Cubo	4
2.1.3	Esfera	4
2.1.4	Cone	5
2.1.5	Torus	5
2.1.6	Bezier	5
2.2	Iluminação	6
2.3	Resultados	7
3	Conclusão	10

Capítulo 1

Introdução

O seguinte relatório vai abordar a resolução da última fase do projeto proposto na Unidade Curricular de Computação Gráfica. Nesta ultima fase foi proposta a alteração do *generator* de forma a implementar coordenadas de textura e normais para cada vértice; e também a alteração do *engine* para aplicar a iluminação e texturas definidas no ficheiro xml.

Capítulo 2

Resolução

2.1 Cálculo de Normais

2.1.1 Plano

No Plano, as normais são $(0,1,0)$ para todos os seus pontos.

2.1.2 Cubo

No Cubo vamos ter as seguintes normais para os pontos pertencentes à face:

- Topo : $(0,1,0)$
- Base : $(0,-1,0)$
- Frente : $(0,0,1)$
- Trás : $(0,0,-1)$
- Direita : $(1,0,0)$
- Esquerda : $(-1,0,0)$

2.1.3 Esfera

Na Esfera, usamos as coordenadas polares para calcular as normais:

- $x = \cos(\beta) * \sin(\alpha)$
- $y = \sin(\beta)$
- $z = \cos(\beta) * \cos(\alpha)$
- $n = (x, y, z)$

Tendo em consideração que β varia de -90° a 90° , e α entre 0° e 360° .

2.1.4 Cone

No Cone, dividimos o calculo das normais em duas partes, base e corpo do cone para tornar o processo mais simples.

Para a base, as normais são $(0, -1, 0)$ para todos os seus pontos.

Para o corpo do cone, vamos considerar i a variável que itera as stacks, e j a variável que itera as slices, logo cada pontos de P vai ter as seguintes coordenadas:

- $x = r * \sin(\alpha * j)$
- $y = i * (height/stacks)$
- $z = r * \cos(\alpha * j)$

Considerando $r = (height - i * (height/stacks))/(height/radius)$ e $\alpha = 360^\circ/slices$.

Assim, as normais de P têm os valores (x, y, z) , com $(\sin(\alpha*j), \sin(atan(radius/height)), \cos(\alpha*j))$.

2.1.5 Torus

Seja P um ponto do torus, vamos calcular as suas coordenadas da seguinte forma:

- $x = (R + r * \cos(\alpha * i)) * \cos(\beta * j)$
- $y = r * \sin(\alpha * i)$
- $z = (R + r * \cos(\alpha * i)) * \sin(\beta * j)$

Admitindo que i é a variável que itera o número de *stacks*, j a variável que itera o número de *slices*, $\alpha = 360^\circ/stacks$, $\beta = 360^\circ/slices$, $R = (raio + espessura)/2$, e $r = R - espessura$.

Assim, as normais de P têm os valores (x, y, z) , com $(r * \cos(\alpha * i) * \cos(\beta * j), r * \sin(\alpha * i), r * \cos(\alpha * i) * \sin(\beta * j))$

2.1.6 Bezier

Considerando a matriz de Bezier $M = \begin{bmatrix} -1 & 3 & -3 & 1 \\ 3 & -6 & 3 & 0 \\ -3 & 3 & 0 & 0 \\ 1 & 0 & 0 & 0 \end{bmatrix}$

T = nível de tesselação

Temos 4 curvas de Bezier $C0, C1, C2, C3$:

$C0 = P_{00}, P_{10}, P_{20}, P_{30}$, $C1 = P_{01}, P_{11}, P_{21}, P_{31}$, $C2 = P_{02}, P_{12}, P_{22}, P_{32}$, e $C3 = P_{03}, P_{13}, P_{23}, P_{33}$

$$B(u, v) = \begin{bmatrix} u^3 & u^2 & u & 1 \end{bmatrix} M \begin{bmatrix} P_{00} & P_{01} & P_{02} & P_{03} \\ P_{10} & P_{11} & P_{12} & P_{13} \\ P_{20} & P_{21} & P_{22} & P_{23} \\ P_{30} & P_{31} & P_{32} & P_{33} \end{bmatrix} M^T \begin{bmatrix} v^3 \\ v^2 \\ v \\ 1 \end{bmatrix}$$

Obtivemos os pontos da superfície com a função B, ao variar u e v entre 0 e 1.

Para calcular as normais de um ponto temos:

$$u' = \begin{bmatrix} 3*u^2 & 2*u & 1 & 0 \end{bmatrix} M \begin{bmatrix} P_{00} & P_{01} & P_{02} & P_{03} \\ P_{10} & P_{11} & P_{12} & P_{13} \\ P_{20} & P_{21} & P_{22} & P_{23} \\ P_{30} & P_{31} & P_{32} & P_{33} \end{bmatrix} M^T \begin{bmatrix} v^3 \\ v^2 \\ v \\ 1 \end{bmatrix}$$

$$v' = \begin{bmatrix} u^3 & u^2 & u & 1 \end{bmatrix} M \begin{bmatrix} P_{00} & P_{01} & P_{02} & P_{03} \\ P_{10} & P_{11} & P_{12} & P_{13} \\ P_{20} & P_{21} & P_{22} & P_{23} \\ P_{30} & P_{31} & P_{32} & P_{33} \end{bmatrix} M^T \begin{bmatrix} 3*v^2 & 2*v \\ 1 \\ 0 \end{bmatrix}$$

Obtemos as normais de cada componente P ao fazer $u*v / ||u' * v' ||$

2.2 Iluminação

Para a implementação da luz foram criadas duas classes abstratas, uma para a luz, e outra para a cor. A classe *Light* é estendida pelas classes: *LightPoint*, *LightDirectional*, e *LightSpotlight*.

A classe *Color* é acrescentada pelas classes: *Diffuse*, *Ambient*, *Specular*, *Emissive*, e *Shininess*.

Na leitura do ficheiro *xml*, são construídas classes de instância *Light* de acordo com o tipo de luz. Após isto, as luzes serão aplicadas a partir da função *renderScene*. No momento em que os *models* são desenhados, as informações armazenadas em *Color* são também aplicadas de forma a obter os resultados que podemos ver em baixo.

Apenas a luz emissiva e ambiente funciona corretamente.

2.3 Resultados

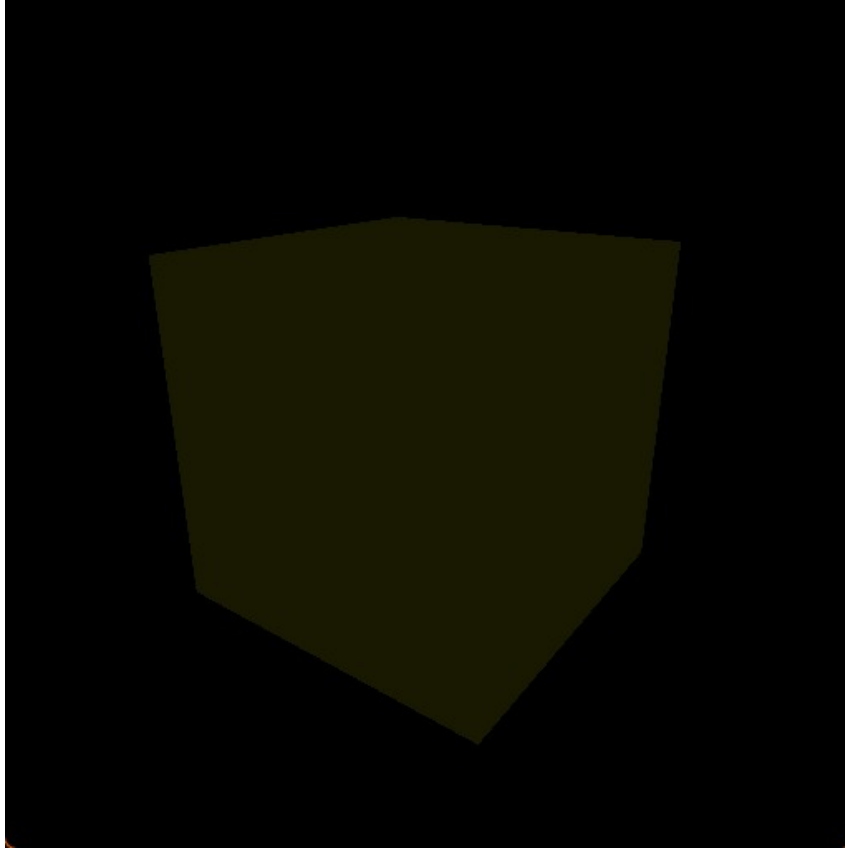


Figura 2.1: test_4.1.xml

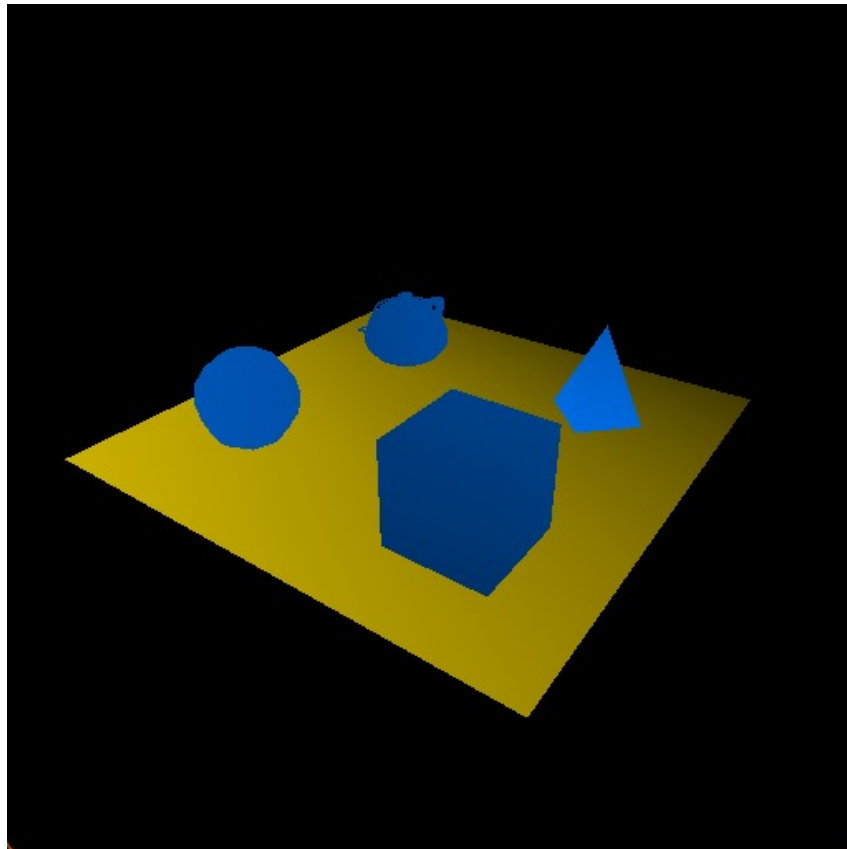


Figura 2.2: test_4.4.xml

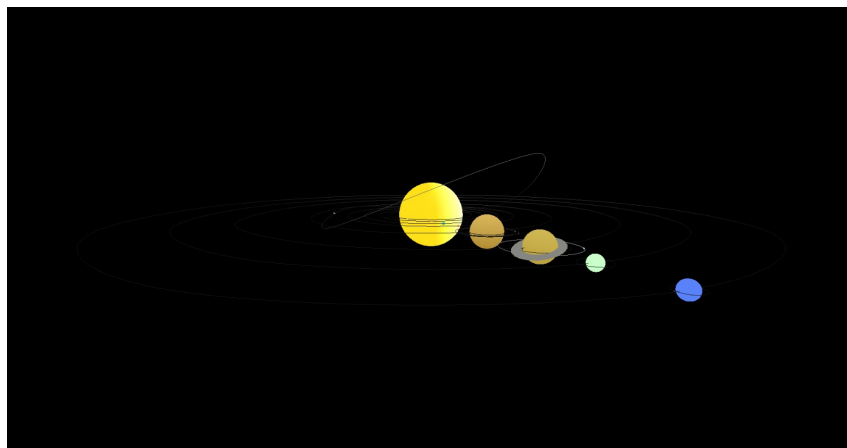


Figura 2.3: Sistema Solar

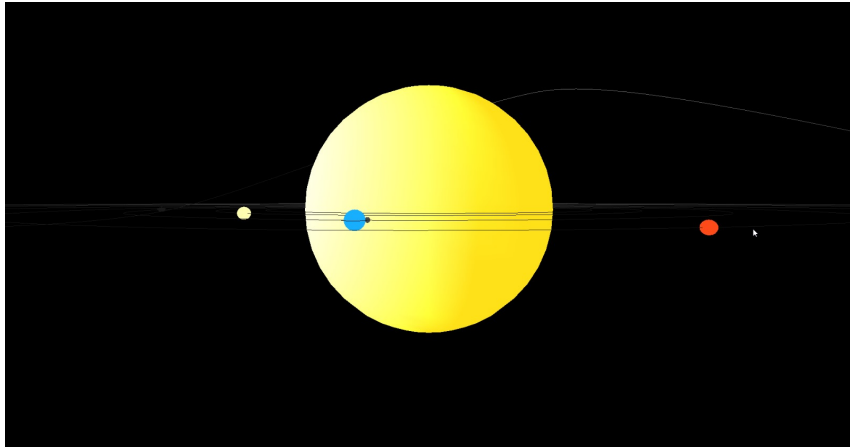


Figura 2.4: Sistema Solar

Capítulo 3

Conclusão

Como se pode perceber pelo presente relatório, não fomos capazes de implementar a parte do projeto relativo a texturas.

No entanto, apesar disto fizemos o nosso melhor para implementar a iluminação da melhor forma possível e pensamos que este objetivo foi alcançado, apesar das dificuldades que sentimos no cálculo das normais dos diferentes modelos.

Num futuro projeto, vamos ter em maior atenção a nossa gerência de tempo para garantir que conseguimos concretizar todas as partes do mesmo no tempo.